

ИЗГИБ УПРУГОПЛАСТИЧЕСКОЙ КРУГОВОЙ ТРЕХСЛОЙНОЙ ПЛАСТИНЫ СО СЖИМАЕМЫМ ЗАПОЛНИТЕЛЕМ

¹Захарчук Ю.В.

¹Белорусский государственный университет транспорта

Приведены постановка и аналитическое решение задачи об изгибе упругопластической круговой трехслойной пластины со сжимаемым наполнителем. Для тонких несущих слоев приняты гипотезы Кирхгофа. В относительно толстом наполнителе учтен поперечный сдвиг, радиальные перемещения и прогиб изменяются линейно по толщине. Дифференциальные уравнения равновесия в усилиях получены с помощью вариационного метода Лагранжа. Постановка краевой задачи в перемещениях приведена в цилиндрической системе координат r , φ , z . Решение выписано в функциях Бесселя.

Введение. Деформированию и колебаниям слоистых, в том числе трехслойных, элементов конструкций посвящены многочисленные исследования. Динамическое нагружение исследовалось в статьях [1–4], изотермическое квазистатическое, в том числе переменное – в работах [5–7]. Результаты, связанные с поведением трехслойных конструкций в температурном поле, опубликованы в статьях [8–11].

Следует отметить, что в основном публикации по деформированию трехслойных круговых пластин не учитывают сжимаемость наполнителя. В статьях [12–15] отражены постановка и решение задачи об изгибе упругой круговой трехслойной пластины со сжимаемым наполнителем. Здесь приводятся уравнения равновесия и их аналитическое рекуррентное решение для упругопластической круговой трехслойной пластины.

1 Постановка краевой задачи. Рассмотрим упругопластическую круговую трехслойную пластину со сжимаемым наполнителем (рисунок 1). Постановку задачи и ее решение проведем в цилиндрической системе координат r , φ , z . Систему координат свяжем со срединной плоскостью наполнителя. В тонких несущих слоях с толщинами h_1 , h_2 справедливы гипотезы Кирхгофа: нормаль остается несжимаемой, прямолинейной и перпендикулярной к деформированной срединной поверхности своего слоя. В наполнителе $h_3=2c$, воспринимающем нагрузку в вертикальном и тангенциальном направлениях, нормаль остается прямолинейной, поворачивается на некоторый дополнительный угол $\psi(r)$. Деформируемость по толщине наполнителя принимается линейной.

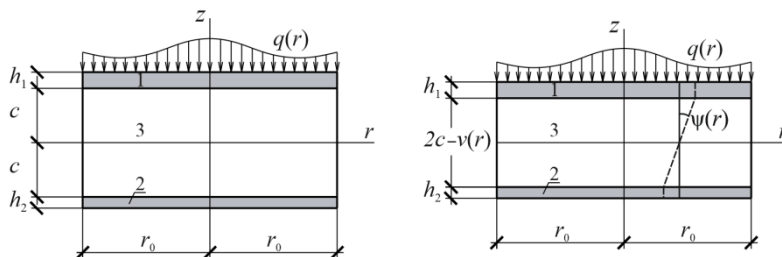


Рис. 1. Расчетная схема трехслойной пластины

На внешний слой стержня действует осесимметричная распределенная изгибающая нагрузка $q = q(r)$. На контуре пластины предполагается наличие жесткой диафрагмы, препятствующей относительному сдвигу слоев и обжатию наполнителя (ψ

$= 0$, $v = 0$ при $r = r_0$). Через $w(r)$ и $u(r)$ обозначены прогиб и радиальное перемещение срединной плоскости заполнителя, $v(r)$ – функция обжатия заполнителя, h_k – толщина k -го слоя.

Радиальные и поперечные перемещения в слоях $u^{(k)}(r, z)$ и $w^{(k)}(r, z)$ можно выразить через четыре искомые функции $w(r)$, $u(r)$, $\psi(r)$ и $v(r)$ следующими соотношениями:

▪ в несущих слоях 1, 2

$$u_r^{(1)} = u + c\psi - z(w_{,r} + v_{,r}), \quad w^{(1)}(r, z) = w(r) + v(r) \quad (c \leq z \leq c + h);$$

$$u_r^{(2)} = u - c\psi - zw_{,r}, \quad w^{(2)}(r, z) = w(r) \quad (-c - h \leq z \leq -c);$$

▪ в заполнителе 3

$$u_r^{(3)} = u + z\psi - z \left[w_{,r} + \frac{v_{,r}}{2c}(z + c) \right], \quad w^{(3)}(r, z) = w(r) + \frac{v(r)}{2c}(z + c) \quad (-c \leq z \leq c); \quad (1)$$

где z – координата рассматриваемого волокна; запятая в нижнем индексе обозначает операцию дифференцирования по следующей за ней координате.

Компоненты тензора деформаций в слоях получим из перемещений (1), используя соотношения Коши:

$$\varepsilon_r^{(1)} = u_{,r} + c\psi_{,r} - z(w_{,rr} + v_{,rr}), \quad \varepsilon_\varphi^{(1)} = \frac{1}{r}(u + c\psi - z(w_{,r} + v_{,r})), \quad \varepsilon_{rz}^{(1)} = 0,$$

$$\varepsilon_r^{(2)} = u_{,r} - c\psi_{,r} - z(w_{,rr} + v_{,rr}), \quad \varepsilon_\varphi^{(2)} = \frac{1}{r}(u - c\psi - z(w_{,r} + v_{,r})), \quad \varepsilon_{rz}^{(2)} = 0,$$

$$\varepsilon_r^{(3)} = u_{,r} + z\psi_{,r} - z \left[w_{,rr} + \frac{v_{,rr}}{2c}(z + c) \right], \quad \varepsilon_\varphi^{(3)} = \frac{1}{r} \left\{ u + z\psi - z \left[w_{,r} + \frac{v_{,r}}{2c}(z + c) \right] \right\},$$

$$\varepsilon_{rz}^{(3)} = \frac{1}{2} \left(\psi - \frac{z}{2c} v_{,r} \right), \quad \varepsilon_z^{(3)} = \frac{v}{2c}. \quad (2)$$

Для связи напряжений и деформаций в слоях пластины используются физические уравнения состояния теории малых упругопластических деформаций Ильюшина [1]:

$$s_\alpha^{(k)} = 2G_k(1 - \omega_k(\varepsilon_u^{(k)}))\vartheta_\alpha^{(k)}, \quad \sigma^{(k)} = 3K_k\varepsilon^{(k)} \quad (k = 1, 2, 3; \alpha = r, \varphi),$$

$$s_z^{(3)} = 2G_3(1 - \omega_3(\varepsilon_u^{(3)}))\vartheta_z^{(3)}, \quad s_{rz}^{(3)} = 2G_3(1 - \omega_3(\varepsilon_u^{(3)}))\vartheta_{rz}^{(3)}, \quad (3)$$

где $s_\alpha^{(k)}$, $\sigma^{(k)}$ – девиаторная и шаровая части тензора напряжений; $\vartheta_\alpha^{(k)}$, $\varepsilon^{(k)}$ – девиаторная и шаровая части тензора деформаций; G_k , K_k – модули сдвиговой и объемной деформации k -го слоя; $\omega_k(\varepsilon_u^{(k)})$ – функции пластичности Ильюшина материалов несущих слоев ($k = 1, 2$) [10], которые при $\varepsilon_u^{(k)} \leq \varepsilon_y^{(k)}$ следует положить равными нулю; $\varepsilon_y^{(k)}$ – предел текучести материалов несущих слоев; $\omega_3(\varepsilon_u^{(3)})$ – универсальная функция, описывающая физическую нелинейность сжимаемого заполнителя, причем $\omega^{(3)} \equiv 0$ при $\varepsilon_u^{(k)} \leq \varepsilon_s^{(k)}$, $\varepsilon_s^{(3)}$ – предел физической нелинейности материала заполнителя; $s_z^{(3)}$, $s_{rz}^{(3)}$, $\vartheta_z^{(3)}$, $\vartheta_{rz}^{(3)}$ – девиаторы тензоров в заполнителе; $\varepsilon_u^{(k)}$ – интенсивность деформаций в k -м слое

$$\varepsilon_u^{(k)} = \frac{\sqrt{2}}{3} \sqrt{(\varepsilon_{rr} - \varepsilon_{\varphi\varphi})^2 + (\varepsilon_{\varphi\varphi} - \varepsilon_{zz})^2 + (\varepsilon_{zz} - \varepsilon_{rr})^2 + 6(\varepsilon_{r\varphi}^2 + \varepsilon_{\varphi z}^2 + \varepsilon_{rz}^2)}.$$

Используя компоненты тензора напряжений $\sigma_\alpha^{(k)}$ ($\alpha = r, \varphi$), введем интенсивности обобщенных внутренних усилий и моментов в пластине:

$$T_\alpha \equiv \sum_{k=1}^3 T_\alpha^{(k)} = \sum_{k=1}^3 \int_{h_k} \sigma_\alpha^{(k)} dz, \quad M_\alpha \equiv \sum_{k=1}^3 M_\alpha^{(k)} = \sum_{k=1}^3 \int_{h_k} \sigma_\alpha^{(k)} z dz,$$

$$H_\alpha = M_\alpha^{(3)} + c(T_\alpha^{(1)} - T_\alpha^{(2)}), \quad D_\alpha = S_\alpha^{(3)} + c(M_\alpha^{(1)} + M_\alpha^{(2)}), \quad S_\alpha^{(3)} = \int_{h_3} \sigma_\alpha^{(3)} z^2 dz, \quad (4)$$

где интегралы берутся по толщине k -го слоя.

Компоненты тензора напряжений в слоях, используя (3), представим через дивергентную и шаровую части тензора деформаций:

$$\begin{aligned}\sigma_{\alpha}^{(k)} &= 2G_k \vartheta_{\alpha}^{(k)} + K_k \theta^{(k)} - 2G_k \omega_k \vartheta_{\alpha}^{(k)} \quad (\alpha = r, \varphi; k = 1, 2, 3), \\ \sigma_z^{(3)} &= 2G_3 \vartheta_z^{(3)} + K_3 \theta^{(3)} - 2G_3 \omega_3 \vartheta_z^{(3)}, \quad \sigma_{rz}^{(3)} = 2G_3 \vartheta_{rz}^{(3)} - 2G_3 \omega_3 \vartheta_{rz}^{(3)}.\end{aligned}\quad (5)$$

Выделим в тензоре напряжений (5) упругие (индекс «е») и неупругие (индекс «ω») слагаемые:

$$\sigma_{\alpha}^{(k)} = \sigma_{\alpha e}^{(k)} - \sigma_{\alpha \omega}^{(k)} \quad (\alpha = r, \varphi; k = 1, 2, 3), \quad \sigma_z^{(3)} = \sigma_{ze}^{(3)} - \sigma_{z\omega}^{(3)}, \quad \sigma_{rz}^{(3)} = \sigma_{rze}^{(3)} - \sigma_{rz\omega}^{(3)}, \quad (6)$$

где

$$\begin{aligned}\sigma_{\alpha e}^{(k)} &= 2G_k \vartheta_{\alpha}^{(k)} + K_k \theta^{(k)}, \quad \sigma_{\alpha \omega}^{(k)} = 2G_k \omega_k \vartheta_{\alpha}^{(k)}, \\ \sigma_{ze}^{(3)} &= 2G_3 \vartheta_z^{(3)} + K_3 \theta^{(3)}, \quad \sigma_{z\omega}^{(3)} = 2G_3 \omega_3 \vartheta_z^{(3)}, \\ \sigma_{rze}^{(3)} &= 2G_3 \vartheta_{rz}^{(3)}, \quad \sigma_{rz\omega}^{(3)} = 2G_3 \omega_3 \vartheta_{rz}^{(3)}.\end{aligned}$$

Внутренние усилия и моменты в слоях пластины также представим в виде разности линейной (индекс «е») и нелинейной (индекс «ω») частей:

$$T_{\alpha}^{(k)} = T_{\alpha e}^{(k)} - T_{\alpha \omega}^{(k)}, \quad M_{\alpha}^{(k)} = M_{\alpha e}^{(k)} - M_{\alpha \omega}^{(k)}, \quad S_{\alpha}^{(3)} = S_{\alpha e}^{(3)} - S_{\alpha \omega}^{(3)} \quad (\alpha = r, \varphi), \quad (7)$$

где упругие и нелинейные составляющие вычисляются по формулам (4), в которых напряжения $\sigma_{\alpha}^{(k)}$ нужно заменить соответственно на $\sigma_{\alpha e}^{(k)}$ и $\sigma_{\alpha \omega}^{(k)}$ ($\alpha = r, \varphi$) из соотношений (6).

После этого обобщенные внутренние усилия будут

$$\begin{aligned}T_{\alpha} &= T_{\alpha e} - T_{\alpha \omega} = \sum_{k=1}^3 T_{\alpha e}^{(k)} - \sum_{k=1}^3 T_{\alpha \omega}^{(k)}, \quad M_{\alpha} = M_{\alpha e} - M_{\alpha \omega} = \sum_{k=1}^3 M_{\alpha e}^{(k)} - \sum_{k=1}^3 M_{\alpha \omega}^{(k)}, \\ H_{\alpha} &= H_{\alpha e} - H_{\alpha \omega}, \quad H_{\alpha e} = M_{\alpha e}^{(3)} + c(T_{\alpha e}^{(1)} - T_{\alpha e}^{(2)}), \quad H_{\alpha \omega} = M_{\alpha \omega}^{(3)} + c(T_{\alpha \omega}^{(1)} - T_{\alpha \omega}^{(2)}), \\ D_{\alpha} &= D_{\alpha e} - D_{\alpha \omega}, \quad D_{\alpha e} = M_{\alpha e}^{(1)} + \frac{1}{2} M_{\alpha e}^{(3)} + \frac{1}{2c} S_{\alpha e}^{(3)}, \quad D_{\alpha \omega} = M_{\alpha \omega}^{(1)} + \frac{1}{2} M_{\alpha \omega}^{(3)} + \frac{1}{2c} S_{\alpha \omega}^{(3)}.\end{aligned}\quad (8)$$

Система дифференциальных уравнений равновесия в усилиях (4), описывающая деформирование круговой упругой трехслойной пластины с легким сжимаемым наполнителем, была получена с помощью принципа Лагранжа в [14] без применения соотношений связи напряжений и деформаций. Поэтому ее можно использовать здесь как исходную. Выделив в обобщенных внутренних усилиях, входящих в нее, линейные и нелинейные составляющие в соответствии с формулами (8), получим:

$$\begin{cases} T_{r,r} + \frac{1}{r}(T_r - T_{\varphi}) = p_{\omega}, \\ H_{r,r} + \frac{1}{r}(H_r - H_{\varphi}) = h_{\omega}, \\ M_{r,rr} + \frac{1}{r}(2M_{r,r} - M_{\varphi,r}) = -q + q_{\omega}, \\ D_{r,rr} + \frac{1}{r}(2D_{r,r} - D_{\varphi,r}) = -q + g_{\omega}. \end{cases} \quad (9)$$

На границе $r = r_0$ должны выполняться силовые условия:

$$\begin{aligned}T_r &= T_r^0 + T_{\omega}, \quad H_r = H_r^0 + H_{\omega}, \quad M_r = M_r^0 + M_{\omega}, \quad M_{r,r} + \frac{1}{r}(M_r - M_{\varphi}) = M_{r\omega,r} + \frac{1}{r}(M_{r\omega} - M_{\varphi\omega}), \\ D_r &= D_r^0 + D_{r\omega}, \quad D_{r,r} + \frac{1}{r}(D_r - D_{\varphi}) = D_{r\omega,r} + \frac{1}{r}(D_{r\omega} - D_{\varphi\omega}).\end{aligned}\quad (10)$$

где нижний индекс «е» для простоты опущен.

Нелинейные добавки, сосредоточенные в правой части уравнений (9), (10) и включенные в слагаемые с нижним индексом «ω», будут определяться формулами:

$$p_{\omega} = T_{r\omega,r} + \frac{1}{r}(T_{r\omega} - T_{\varphi\omega}), \quad h_{\omega} = H_{r\omega,r} + \frac{1}{r}(H_{r\omega} - H_{\varphi\omega}),$$

$$q_\omega = M_{r\omega,rr} + \frac{1}{r}(2M_{r\omega,r} - M_{\varphi\omega,r}), \quad g_\omega = D_{r\omega,rr} + \frac{1}{r}(2D_{r\omega,r} - D_{\varphi\omega,r}). \quad (11)$$

2 Разрешающая система дифференциальных уравнений. Линейные (упругие) составляющие обобщенных внутренних усилий по-прежнему выражаются через перемещения формулами, приведенными в [14], поэтому система уравнений равновесия в перемещениях, соответствующая (9), приводится к виду:

$$\begin{aligned} L_2(a_1u + a_2\psi - a_3w_{,r} - a_4v_{,r}) + K_3^- v_{,r} &= p_\omega, \\ L_2(a_2u + a_5\psi - a_6w_{,r} - a_7v_{,r}) &= h_\omega, \\ L_3(a_3u + a_6\psi - a_8w_{,r} - a_9v_{,r}) &= -q + q_\omega, \\ L_3(a_4u + a_7\psi - a_9w_{,r} - a_{10}v_{,r}) + \frac{c}{6}K_3^- \left(v_{,rr} + \frac{v_{,r}}{r} \right) &= -q + g_\omega. \end{aligned} \quad (12)$$

Здесь коэффициенты a_i и дифференциальные операторы L_2, L_3 определяются соотношениями:

$$\begin{aligned} a_1 &= \sum_{k=1}^3 h_k K_k^+, \quad a_2 = c(h_1 K_1^+ - h_2 K_2^+), \quad a_3 = h_1 \left(c + \frac{h_1}{2} \right) K_1^+ - h_2 \left(c + \frac{h_2}{2} \right) K_2^+, \\ a_4 &= h_1 \left(c + \frac{h_1}{2} \right) K_1^+ + \frac{c^2}{3} K_3^+, \quad a_5 = c^2 (h_1 K_1^+ + h_2 K_2^+) + \frac{2}{3} c^3 K_3^+, \\ a_6 &= c \left[h_1 \left(c + \frac{h_1}{2} \right) K_1^+ + h_2 \left(c + \frac{h_2}{2} \right) K_2^+ + \frac{2}{3} c^2 K_3^+ \right], \quad a_7 = c \left[h_1 \left(c + \frac{h_1}{2} \right) K_1^+ + \frac{c^2}{3} K_3^+ \right], \\ a_8 &= h_1 \left(c^2 + ch_1 + \frac{h_1^2}{3} \right) K_1^+ + h_2 \left(c^2 + ch_2 + \frac{h_2^2}{3} \right) K_2^+ + \frac{2}{3} c^3 K_3^+, \quad a_9 = h_1 \left(c^2 + ch_1 + \frac{h_1^2}{3} \right) K_1^+ + \frac{c^3}{3} K_3^+, \\ a_{10} &= h_1 \left(c^2 + ch_1 + \frac{h_1^2}{3} \right) K_1^+ + \frac{4}{15} c^3 K_3^+, \quad L_2(g) = \frac{1}{r}((rg)_{,r})_{,r}, \quad L_3(g) = \frac{1}{r}(rL_2(g))_{,r}. \end{aligned}$$

Краевая задача замыкается добавлением к системе дифференциальных уравнений (12) силовых (11) или кинематических граничных условий на контуре. Например, при жесткой заделке контура пластины при $r = r_0$ должны выполняться условия

$$u = \psi = w = v = w_{,r} = v_{,r} = 0,$$

при шарнирном опирании

$$u = \psi = w = v = w_{,rr} = v_{,rr} = 0. \quad (13)$$

Система уравнений равновесия (12) является существенно нелинейной. Для ее решения применен метод последовательных приближений, основанный на методе упругих решений Ильюшина. В результате система принимает итерационный вид

$$\begin{aligned} L_2(a_1 u^{(n)} + a_2 \psi^{(n)} - a_3 w^{(n)}_{,r} - a_4 v^{(n)}_{,r}) + K_3^- v^{(n)}_{,r} &= p_\omega^{(n-1)}, \\ L_2(a_2 u^{(n)} + a_5 \psi^{(n)} - a_6 w^{(n)}_{,r} - a_7 v^{(n)}_{,r}) &= h_\omega^{(n-1)}, \\ L_3(a_3 u^{(n)} + a_6 \psi^{(n)} - a_8 w^{(n)}_{,r} - a_9 v^{(n)}_{,r}) &= -q + q_\omega^{(n-1)}, \\ L_3(a_4 u^{(n)} + a_7 \psi^{(n)} - a_9 w^{(n)}_{,r} - a_{10} v^{(n)}_{,r}) + \frac{c}{6}K_3^- \left(v^{(n)}_{,rr} + \frac{v^{(n)}_{,r}}{r} \right) &= -q + g_\omega^{(n-1)}, \end{aligned} \quad (14)$$

где n – номер приближения.

Нелинейные добавки в (14) вычисляются по результатам предыдущего приближения. Они определяются соотношениями ($\alpha = r, \psi$)

$$\begin{aligned} p_\omega^{(n-1)} &= T_{r\omega}^{(n-1)}_{,r} + \frac{1}{r}(T_{r\omega}^{(n-1)} - T_{\varphi\omega}^{(n-1)}), \quad h_\omega^{(n-1)} = H_{r\omega}^{(n-1)}_{,r} + \frac{1}{r}(H_{r\omega}^{(n-1)} - H_{\varphi\omega}^{(n-1)}), \\ q_\omega^{(n-1)} &= M_{r\omega}^{(n-1)}_{,rr} + \frac{1}{r}(2M_{r\omega}^{(n-1)}_{,r} - M_{\varphi\omega}^{(n-1)}_{,r}), \quad g_\omega^{(n-1)} = D_{r\omega}^{(n-1)}_{,rr} + \frac{1}{r}(2D_{r\omega}^{(n-1)}_{,r} - D_{\varphi\omega}^{(n-1)}_{,r}), \end{aligned}$$

$$T_{\alpha\omega}^{(n-1)} = \sum_{k=1}^3 2G_k \int_{h_k} \omega_k (\varepsilon_u^{(k,n-1)}) \vartheta_{\alpha}^{(k,n-1)} dz, \quad M_{\alpha\omega}^{(n-1)} = \sum_{k=1}^3 2G_k \int_{h_k} \omega_k (\varepsilon_u^{(k,n-1)}) \vartheta_{\alpha}^{(k,n-1)} z dz,$$

$$S_{\alpha\omega}^{(3,n-1)} = 2G_3 \int_{-c}^c \omega_3 (\varepsilon_u^{(3,n-1)}) \vartheta_{\alpha}^{(3,n-1)} z^2 dz, \quad H_{\alpha\omega}^{(n-1)} = M_{\alpha\omega}^{(3,n-1)} + c(T_{\alpha\omega}^{(1,n-1)} - T_{\alpha\omega}^{(2,n-1)}),$$

$$D_{\alpha\omega}^{(n-1)} = M_{\alpha\omega}^{(1,n-1)} + \frac{1}{2} M_{\alpha\omega}^{(3,n-1)} + \frac{1}{2c} S_{\alpha\omega}^{(3,n-1)}.$$

Итерационное решение системы дифференциальных уравнений (14) будет

$$\psi^{(n)} = -\frac{1}{a_6} L_3^{-1}(q - q_{\omega}^{(n-1)}) + \frac{C_1^{(n)} r}{4a_6} (2 \ln r - 1) - \frac{1}{a_6} (a_3 u^{(n)} - a_8 w^{(n)},_r - a_9 v^{(n)},_r) + C_3^{(n)} \frac{r}{2} + C_4^{(n)} \frac{1}{r},$$

$$u^{(n)} = b_1 v^{(n)},_r + b_2 L_3^{-1}(q - q_{\omega}^{(n-1)}) + b_3 L_3^{-1}(q - g_{\omega}^{(n-1)}) - b_2 C_1^{(n)} \frac{r}{4} (2 \ln r - 1) -$$

$$- b_3 C_2^{(n)} \frac{r}{4} (2 \ln r - 1) + b_4 L_2^{-1}(h_{\omega}^{(n-1)}) + b_5 L_2^{-1}(p_{\omega}^{(n-1)}) + C_5^{(n)} \frac{r}{2} + C_6^{(n)} \frac{1}{r},$$

$$v^{(n)} = -\frac{C_7^{(n)}}{\beta} J_0(\beta r) - \frac{C_8^{(n)}}{\beta} Y_0(\beta r) + \frac{\pi}{2} \left(\int Y_1(\beta r) \int J_1(\beta r) q_1^{(n-1)}(r) r dr dr - \right.$$

$$\left. - \int J_1(\beta r) \int Y_1(\beta r) q_1^{(n-1)}(r) r dr dr \right) + C_9^{(n)},$$

$$w^{(n)} = b_6 \int u^{(n)} dr - \frac{a_6 a_7 - a_5 a_9}{a_6^2 - a_5 a_8} v^{(n)} - \frac{a_5}{a_6^2 - a_5 a_8} \int L_3^{-1}(q - q_{\omega}^{(n-1)}) dr -$$

$$- \frac{a_6}{(a_6^2 - a_5 a_8)} \int L_2^{-1}(h_{\omega}^{(n-1)}) dr + \frac{C_1^{(n)} a_5}{(a_6^2 - a_5 a_8)} \frac{r^2}{4} (\ln r - 1) + C_{10}^{(n)} \frac{r^2}{4} + C_{11}^{(n)} \ln r + C_{12}^{(n)}, \quad (15)$$

где $q_1^{(n-1)}(r)$ – функция, зависящая от вида нагрузки.

Для сплошных круглых пластин, исходя из условия ограниченности решения в начале координат, следует положить

$$C_1^{(n)} = C_2^{(n)} = C_4^{(n)} = C_6^{(n)} = C_8^{(n)} = C_{11}^{(n)} = 0.$$

Если контур заделан, то из принятых граничных условий типа (13) получим:

$$C_3^{(n)} = \frac{2}{a_6 r_0} L_3^{-1}(q - q_{\omega}^{(n-1)}) \Big|_{r=r_0}, \quad C_5^{(n)} = -\frac{2b_2}{r_0} L_3^{-1}(q - q_{\omega}^{(n-1)}) \Big|_{r=r_0} - \frac{2b_3}{r_0} L_3^{-1}(q - g_{\omega}^{(n-1)}) \Big|_{r=r_0} - \frac{2b_4}{r_0} L_2^{-1}(h_{\omega}^{(n-1)}) \Big|_{r=r_0} -$$

$$- \frac{2b_5}{r_0} L_2^{-1}(p_{\omega}^{(n-1)}) \Big|_{r=r_0}, \quad C_7^{(n)} = -\frac{\pi}{2J_1(\beta r_0)} \left(Y_1(\beta r_0) \int J_1(\beta r) q_1^{(n-1)}(r) r dr \Big|_{r=r_0} - \right.$$

$$\left. - J_1(\beta r_0) \int Y_1(\beta r) q_1^{(n-1)}(r) r dr \Big|_{r=r_0} \right), \quad C_9^{(n)} = \frac{C_7^{(n)}}{\beta} J_0(\beta r_0) - \frac{\pi}{2} \left(\int Y_1(\beta r) \int J_1(\beta r) q_1^{(n-1)}(r) r dr dr \Big|_{r=r_0} - \right.$$

$$\left. - \int J_1(\beta r) \int Y_1(\beta r) q_1^{(n-1)}(r) r dr dr \Big|_{r=r_0} \right),$$

$$C_{10}^{(n)} = \frac{2a_5}{(a_6^2 - a_5 a_8) r_0} L_3^{-1}(q - q_{\omega}^{(n-1)}) \Big|_{r=r_0} + \frac{2a_6}{(a_6^2 - a_5 a_8) r_0^2} L_2^{-1}(h_{\omega}^{(n-1)}) \Big|_{r=r_0},$$

$$C_{12}^{(n)} = \left(\frac{a_5}{a_6^2 - a_5 a_8} - b_2 b_6 \right) \int L_3^{-1}(q - q_{\omega}^{(n-1)}) dr \Big|_{r=r_0} + \left(\frac{a_6}{(a_6^2 - a_5 a_8) r_0} - b_4 b_6 \right) \int L_2^{-1}(h_{\omega}^{(n-1)}) dr \Big|_{r=r_0} -$$

$$- b_5 b_6 \int L_2^{-1}(p_{\omega}^{(n-1)}) dr \Big|_{r=r_0} - b_3 b_6 \int L_3^{-1}(q - g_{\omega}^{(n-1)}) dr \Big|_{r=r_0} - b_6 C_5^{(n)} \frac{r_0^2}{4} - C_{10}^{(n)} \frac{r_0^2}{4}.$$

В случае шарнирного опирания контура имеем

$$C_3^{(n)} = \left(\frac{2a_6}{a_6^2 - a_5 a_8} \right) \frac{1}{r_0} L_3^{-1}(q - q_{\omega}^{(n-1)}) \Big|_{r=r_0} + \frac{2a_8}{a_6^2 - a_5 a_8} \frac{1}{r_0} L_2^{-1}(h_{\omega}^{(n-1)}) \Big|_{r=r_0} -$$

$$\begin{aligned}
& -\frac{2}{r_0} \left(\frac{a_9}{a_6} - \frac{a_8(a_6 a_7 - a_5 a_9)}{a_6(a_6^2 - a_5 a_8)} \right) \left[C_7^{(n)} J_1(\beta r_0) + \frac{\pi}{2} \left(Y_1(\beta r_0) \int J_1(\beta r) q_1^{(n-1)}(r) r \, dr \Big|_{r=r_0} - \right. \right. \\
& \quad \left. \left. - J_1(\beta r_0) \int Y_1(\beta r) q_1^{(n-1)}(r) r \, dr \Big|_{r=r_0} \right) \right] - \frac{a_8}{a_6} C_{10}^{(n)}, \\
C_5^{(n)} &= -\frac{2b_1 C_7^{(n)} J_1(\beta r_0)}{r_0} - \frac{b_1 \pi}{r_0} \left(Y_1(\beta r_0) \int J_1(\beta r) q_1^{(n-1)}(r) r \, dr \Big|_{r=r_0} - \right. \\
& \quad \left. - J_1(\beta r_0) \int Y_1(\beta r) q_1^{(n-1)}(r) r \, dr \Big|_{r=r_0} \right) - \frac{2b_2}{r_0} L_3^{-1}(q - q_\omega^{(n-1)}) \Big|_{r=r_0} - \frac{2b_3}{r_0} L_3^{-1}(q - g_\omega^{(n-1)}) \Big|_{r=r_0} - \\
& \quad - \frac{2b_4}{r_0} L_2^{-1}(h_\omega^{(n-1)}) \Big|_{r=r_0} - \frac{2b_5}{r_0} L_2^{-1}(p_\omega^{(n-1)}) \Big|_{r=r_0}, \\
C_7^{(n)} &= \frac{\pi}{2 \left(\beta J_0(\beta r_0) - \frac{1}{r_0} J_1(\beta r_0) \right)} \left[\left(\beta J_0(\beta r_0) - \frac{1}{r_0} J_1(\beta r_0) \right) \int Y_1(\beta r) q_1^{(n-1)}(r) r \, dr \Big|_{r=r_0} - \right. \\
& \quad \left. - \left(\beta Y_0(\beta r_0) - \frac{1}{r_0} Y_1(\beta r_0) \right) \int J_1(\beta r) q_1^{(n-1)}(r) r \, dr \Big|_{r=r_0} + J_1(\beta r_0) Y_1(\beta r_0) q_1^{(n-1)}(r_0) r_0 - \right. \\
& \quad \left. - Y_1(\beta r_0) J_1(\beta r_0) q_1^{(n-1)}(r_0) r_0 \right], \\
C_9^{(n)} &= \frac{C_7^{(n)}}{\beta} J_0(\beta r_0) - \frac{\pi}{2} \left(\int Y_1(\beta r) \int J_1(\beta r) q_1^{(n-1)}(r) r \, dr \, dr \Big|_{r=r_0} - \int J_1(\beta r) \int Y_1(\beta r) q_1^{(n-1)}(r) r \, dr \, dr \Big|_{r=r_0} \right), \\
C_{10}^{(n)} &= -2 \left(\frac{a_2 a_6 - a_3 a_5}{a_6^2 - a_5 a_8} b_1 - \frac{a_6 a_7 - a_5 a_9}{a_6^2 - a_5 a_8} \right) C_7^{(n)} \left(\beta J_0(\beta r_0) - \frac{1}{r_0} J_1(\beta r_0) \right) - \\
& \quad - \left(\frac{a_2 a_6 - a_3 a_5}{a_6^2 - a_5 a_8} b_1 - \frac{a_6 a_7 - a_5 a_9}{a_6^2 - a_5 a_8} \right) \pi \left[\left(\beta Y_0(\beta r_0) - \frac{1}{r_0} Y_1(\beta r_0) \right) \int J_1(\beta r) q_1^{(n-1)}(r) r \, dr \Big|_{r=r_0} + \right. \\
& \quad \left. + Y_1(\beta r_0) J_1(\beta r_0) q_1^{(n-1)}(r_0) r_0 - \left(\beta J_0(\beta r_0) - \frac{1}{r_0} J_1(\beta r_0) \right) \int Y_1(\beta r) q_1^{(n-1)}(r) r \, dr \Big|_{r=r_0} + \right. \\
& \quad \left. + J_1(\beta r_0) Y_1(\beta r_0) q_1^{(n-1)}(r_0) r_0 \right] - 2 \left(\frac{a_2 a_6 - a_3 a_5}{a_6^2 - a_5 a_8} b_2 - \frac{a_5}{a_6^2 - a_5 a_8} \right) \left(L_3^{-1}(q - q_\omega^{(n-1)}) \right) \Big|_{r=r_0} - \\
& \quad - 2 \frac{a_2 a_6 - a_3 a_5}{a_6^2 - a_5 a_8} b_3 L_3^{-1}(q - g_\omega^{(n-1)}) \Big|_{r=r_0} - 2 \left(\frac{a_2 a_6 - a_3 a_5}{a_6^2 - a_5 a_8} b_4 - \frac{a_6}{a_6^2 - a_5 a_8} \right) \left(L_2^{-1}(h_\omega^{(n-1)}) \right) \Big|_{r=r_0} - \\
& \quad - 2 \frac{a_2 a_6 - a_3 a_5}{a_6^2 - a_5 a_8} b_5 L_2^{-1}(p_\omega^{(n-1)}) \Big|_{r=r_0} - \frac{a_2 a_6 - a_3 a_5}{a_6^2 - a_5 a_8} C_5^{(n)}, \\
C_{12}^{(n)} &= -\frac{a_2 a_6 - a_3 a_5}{a_6^2 - a_5 a_8} \left(b_2 \int L_3^{-1}(q - q_\omega^{(n-1)}) \, dr \Big|_{r=r_0} + b_3 \int L_3^{-1}(q - g_\omega^{(n-1)}) \, dr \Big|_{r=r_0} + \right. \\
& \quad \left. + b_4 \int L_2^{-1}(h_\omega^{(n-1)}) \, dr \Big|_{r=r_0} + b_5 \int L_2^{-1}(p_\omega^{(n-1)}) \, dr \Big|_{r=r_0} \right) + \frac{a_5}{a_6^2 - a_5 a_8} \int L_3^{-1}(q - q_\omega^{(n-1)}) \, dr \Big|_{r=r_0} + \\
& \quad + \frac{a_6}{a_6^2 - a_5 a_8} \int L_2^{-1}(h_\omega^{(n-1)}) \, dr \Big|_{r=r_0} - \frac{a_2 a_6 - a_3 a_5}{a_6^2 - a_5 a_8} C_5^{(n)} \frac{r_0^2}{4} - C_{10}^{(n)} \frac{r_0^2}{4}.
\end{aligned}$$

Работа выполнена при финансовой поддержке БР ФФИ (проект № Т18Р-090)

ЛИТЕРАТУРА

1. Starovoitov, E.I. Vibrations of round three-layer plates under the action of various types of surface loads / E.I. Starovoitov, D.V. Leonenko, A.V. Yarovaya // *Strength of Materials*. 2003. Vol. 35. N 4. P. 346-352.

2. Горшков, А.Г. Колебания трехслойных стержней под действием локальных нагрузок различных форм / А.Г. Горшков, Э.И. Старовойтов, Д.В. Леоненко // Экологический вестник научных центров Черноморского экономического сотрудничества. – 2004. – № 1. – С. 45–52.
3. Starovoitov, E.I. Resonant effects of local loads on circular sandwich plates on an elastic foundation / E.I. Starovoitov, D.V. Leonenko // *International Applied Mechanics*. 2010. Vol. 46. N 1. P. 86-93.
4. Starovoitov, E.I. Vibrations of Circular Composite Plates on an Elastic Foundation under the Action of Local Loads / E.I. Starovoitov, D.V. Leonenko // *Mechanics of Composite Materials*. – 2016. – Vol. 52, N 5. – pp. 665–672. DOI: 10.1007/s11029-016-9615-y.
5. Старовойтов, Э.И. О переменном нагружении вязко-пластических трехслойных пологих оболочек / Э. И. Старовойтов // *Вестник МГУ. Сер. 1. Мат. Мех.* – 1980. – № 2. С. 92–96.
6. Москвитин, В.В. К исследованию напряженно-деформированного состояния двухслойных металлополимерных пластин при циклических нагружениях / Москвитин В.В. Старовойтов Э.И. // *Известия Академии наук СССР. Механика твердого тела*. 1986. № 1. С. 116–121.
7. Старовойтов, Э.И. Деформирование упругого трехслойного стержня локальными нагрузками / Старовойтов Э.И., Яровая А.В., Леоненко Д.В. // *Проблемы машиностроения и автоматизации*. 2001. № 4. С. 37–40.
8. Старовойтов, Э.И. Упругопластическое деформирование трехслойных стержней в температурном поле / Старовойтов Э.И. // *Проблемы машиностроения и автоматизации*. – 2012. – № 3. – С. 91–98.
9. Starovoitov, É.I. Description of the thermomechanical properties of some structural materials / É.I. Starovoitov // *Strength of materials*. – 1988 – Vol. 20, N 4. – P. 426–431.
10. Старовойтов Э.И. Термосиловое нагружение пологих трехслойных оболочек / Э.И. Старовойтов // *Известия Академии наук СССР. Механика твердого тела*. 1989. Т. 5. С. 114–119.
11. Starovoitov, É.I. Thermoelastic bending of a sandwich ring plate on an elastic foundation / É.I. Starovoitov, D.V. Leonenko // *International Applied Mechanics*. – 2008. – Vol. 44. – No. 9. – Pp.1032–1040.
12. Захарчук, Ю.В. Деформирование круговой трехслойной пластины со сжимаемым наполнителем / Ю.В. Захарчук // *Проблемы физики, математики и техники*. – 2017. – №4 (33). – С. 53–57.
13. Захарчук, Ю.В. Перемещения в круговой трехслойной пластине со сжимаемым наполнителем / Ю. В. Захарчук // *Механика. Исследования и инновации*. – 2017. – №10. – С. 55–66.
14. Захарчук, Ю.В. Деформирование круговой трехслойной пластины с легким сжимаемым наполнителем / Ю.В. Захарчук // *Теоретическая и прикладная механика*. – Минск: БНТУ. – 2018. – Вып. 33. – С. 363–369.
15. Захарчук, Ю.В. Трехслойная круговая упругопластическая пластина со сжимаемым наполнителем / Ю. В. Захарчук // *Проблемы физики, математики и техники*. – 2018. – № 4 (37). – С. 72–79.